

Phân tích một số sơ đồ mẫu theo mô hình Strut and Tie (mô hình giàn ảo) trong tính toán kết cấu bê tông cốt thép theo Tiêu chuẩn 22TCN-272-05, TCVN11823:2017

■ TS. NGUYỄN LỘC KHA

Trường Đại học Giao thông vận tải - Phân hiệu tại TP. Hồ Chí Minh

TÓM TẮT: Bài báo phân tích một số sơ đồ mẫu theo mô hình Strut and Tie (mô hình giàn ảo) để sử dụng tính toán kết cấu bê tông cốt thép cho các vùng kết cấu có trường ứng suất và biến dạng nhiễu loạn lớn. Đó là các vùng có sự tập trung tải trọng, các vùng có sự thay đổi tiết diện, các vùng có cấu trúc thiết kế phức tạp không liên tục về tinh học nhằm đảm bảo bố trí đủ hàm lượng cốt thép cho kết cấu.

TỪ KHÓA: Mô hình Strut and Tie, tính toán kết cấu bê tông cốt thép.

ABSTRACT: This article analyzes some sample diagrams of Strut and Tie model to use for the calculation of reinforced concrete structure under areas with large stress field and disturbed deformation. These areas have a concentration of loads, cross-sectional changes, a statically discontinuous design structure to reinforce enough steel content for the concrete structure.

KEYWORDS: Strut and Tie models, calculating reinforced concrete structures

1. ĐẶT VẤN ĐỀ

Việc tính toán kết cấu bê tông cốt thép đều dựa trên lý thuyết dâm với giả thiết mặt cắt dâm trước và sau khi biến dạng vẫn phẳng (Giả thiết Bernoulli). Điều này chỉ phù hợp cho những khu vực của kết cấu có trường ứng suất thay đổi đều đặn. Trong thực tế, hình thức chịu lực của kết cấu rất phức tạp, có nhiều vùng trong kết cấu có trường ứng suất và biến dạng nhiễu loạn lớn nên việc áp dụng giả thiết của Bernoulli không còn đúng nữa. Đó là các vùng có sự tập trung tải trọng, các vùng có sự thay đổi tiết diện, các vùng có cấu trúc thiết kế phức tạp không liên tục về tinh học,..., trường ứng suất và biến dạng có sự nhiễu loạn lớn gây ra các ứng suất kéo ngang T_y , làm cho kết cấu bê tông cốt thép bị nứt ngang, mối quan hệ ứng suất - biến dạng không còn phản bội theo

quy luật tuyến tính (định luật Hook).

Các vùng có sự nhiễu loạn lớn về trường ứng suất và biến dạng có ứng xử chịu lực rất phức tạp và rất dễ phá vỡ kết cấu khi bố trí không đúng và không đủ hàm lượng thép. Do đó, cần phải được xem xét về cấu tạo và thiết kế một cách đầy đủ, chính xác dựa trên các phương pháp mô hình hóa và tính toán thích hợp. Việc xem xét một cách không đầy đủ hoặc không nhất quán các vùng có sự nhiễu loạn lớn về trường ứng suất mà chỉ dựa trên kinh nghiệm là một trong những nguyên nhân chính của sự kém chất lượng hay thậm chí gây ra hư hỏng công trình.

2. CÁC PHƯƠNG PHÁP XÂY DỰNG SƠ ĐỒ THEO MÔ HÌNH STRUT AND TIE

2.1. Phương pháp dòng lực

Phương pháp dòng lực được thực hiện theo các nguyên tắc sau:

- Một lực luôn tìm đường ngắn nhất để đến gối. Đường đi của lực này được gọi là dòng lực;
- Các dòng lực không được phép giao nhau. Chúng luôn được bắt đầu và kết thúc tại trọng tâm của diện tích đặt tải hoặc diện tích gối tua;
- Dòng lực phải là ngắn nhất và không có điểm gãy. Chiều của dòng lực là chiều của tải trọng;
- Lực tập trung khi vào trong kết cấu có xu hướng phản bối đều vào trong bê tông nên các dòng lực có độ cong lớn tại gần nơi đặt lực;
- Tại những vị trí cong của dòng lực xuất hiện lực chuyển hướng tao nên sử dụng băng theo phương vuông góc.

2.2. Phương pháp phân bố ứng suất đàn hồi

Quý đạo ứng suất trong kết cấu bê tông có thể mô tả chính xác bằng phương pháp phân tích đàn hồi. Dựa vào quan điểm kết cấu có thiết kế hợp lý là kết cấu có dòng lực ít thay đổi trước và sau khi nứt. Vì vậy, có thể xây dựng được mô hình Strut and Tie gồm các thanh hướng theo các phương ứng suất chính, vị trí của hợp lực chuyển hướng được xác định từ sự phân bố ứng suất trong từng mặt cắt.

2.3. Phương pháp dựa trên các sơ đồ Strut and Tie mẫu

Trong thực tế tính toán, một số sơ đồ tiêu biểu xuất

3.2. Các thanh chống và thanh giằng gồm các thanh nén và thanh kéo

- Các thanh nén trong mô hình Strut and Tie được mô hình hóa là các thanh bê tông hoặc bê tông cốt thép với các yêu cầu: kích thước hình học của thanh nén được xác định trên cơ sở phù hợp về cấu tạo hình học với các vùng nút mà thanh nén đó đi đến và yêu cầu về lực.

Công thức tổng quát xác định cường độ danh định của thanh nén là:

$$P_n = f_{cu} \cdot A_{cs} + f_y \cdot A_{ss} \quad (2)$$

$$\text{Với: } f_{cu} = \frac{f'_c}{0,8 + 170\varepsilon_1} \leq 0,85 f'_c \quad (3)$$

$$\varepsilon_1 = \varepsilon_s + (\varepsilon_s + 0,02) \cdot \cot g^2 \alpha_s \quad (4)$$

Trong đó:

A_{cs} - Diện tích mặt cắt ngang có hiệu của thanh nén;

A_{ss} - Diện tích cốt thép tham gia chịu nén trong thanh nén;

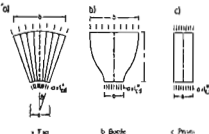
f_{cu} - Cường độ của bê tông trong thanh nén;

- Biến dạng kéo chính vuông góc với trục của thanh nén;

- Biến dạng kéo của bê tông trong các thanh kéo;

- Góc nhỏ nhất giữa thanh kéo và thanh nén đang xét.

Theo Schlaich có ba kiểu trường nén cho các mô hình Strut and Tie là hình quạt, hình cổ chai, hình trùm được mô tả như sau:



- Các thanh kéo trong mô hình Strut and Tie là các thanh thép thanh hoặc thép dư ứng lực được xác định trên cơ sở diện tích cần thiết để đủ bù tri diện tích cốt thép chịu kéo phù hợp với các quy định về khoảng cách và thỏa mãn điều kiện giới hạn ứng suất của vùng nút. Ngoài ra, do kích thước vùng nút và của thanh kéo có quan hệ với nhau nên việc bố trí cốt thép của thanh kéo cũng phải được xem xét trong mối quan hệ với kích thước của thanh nén. Diện tích cốt thép trong các thanh kéo được xác định trên cơ sở nội lực của thanh kéo và cường độ chịu kéo của cốt thép.

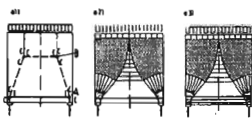
Công thức tổng quát xác định sức kháng của thanh kéo là:

$$P_n = A_s \cdot f_y + A_{ps} (f_{pe} + f_y) \quad (5)$$

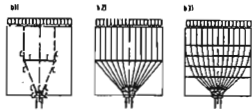
Công thức này được xây dựng dựa trên nguyên lý đồng biến dạng và với giả thiết mô-đun đàn hồi của thép thường và thép dự ứng lực là bằng nhau. Tại thời điểm ban đầu, ứng suất trong cốt thép thường coi như bằng không, ứng suất trong cốt thép dự ứng lực là f_{pe} . Do đó, tại thời điểm ứng suất trong cốt thép thường đạt giá trị f_y , thì ứng suất trong cốt thép dự ứng lực là $f_{pe} + f_y$. Nếu không bố trí thép dự ứng lực thì $A_{ps} = 0$.

4. MỘT SỐ MÔ HÌNH STRUT AND TIE VÀ TƯƠNG ỨNG LÀ CÁC TRƯỜNG ỨNG SUẤT VÀ CỐT THÉP CHO CÁC VÙNG VÀ KẾT CẤU CÓ ỨNG SUẤT NHIỀU LOẠN LỚN PHỔ BIẾN TRONG KẾT CẤU (VÙNG KHÔNG LIÊN TỤC VỀ ỨNG SUẤT)

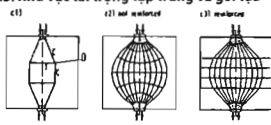
4.1. Dầm cao chịu tải trọng phân bố đều



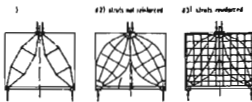
4.2. Khu vực gối tựa



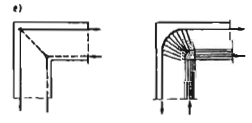
4.3. Khu vực tải trọng tập trung và gối tựa



4.4. Dầm cao chịu tải trọng tập trung



4.5. Tại các khung chịu mô-men



Như vậy, từ việc phân tích trên sẽ là cơ sở cho việc lựa chọn sơ đồ, phân tích tính toán ở các vùng có nhiều loạn ứng suất lớn của kết cấu bê tông cốt thép phù hợp và chính xác.

5. VÍ DỤ MINH HỌA

Trong thực tế thiết kế, một số trụ cầu dạng hình vò quạt đang được sử dụng rộng rãi, nhiều kỹ sư thiết kế

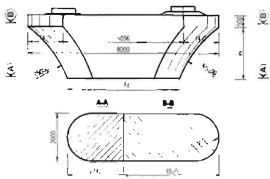
tính toán theo các giả thiết của Bernoulli nên khi đưa vào sử dụng thường xuất hiện các vết nứt dọc trụ cầu gây nguy hiểm do thiếu cốt thép chịu lực kéo và cốt thép chịu lực nén.



Hình ảnh chụp khung thép bị nứt dọc.

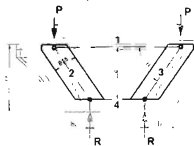
Hình 5.1

Để đảm bảo đủ cốt thép cho thân trụ thì thân trụ cần phải được xem như một tường cao và phải được tính theo mô hình Strut and Tie như hình vẽ:



Hình 5.2: Kích thước trụ cầu dạng tường rẽ quạt điển hình

Từ sơ đồ kích thước trụ cầu rẽ quạt điển hình trên và từ mô hình dán cao chịu tải trọng tập trung dề dàng xác định vị trí của thanh chịu kéo 1, thanh chịu nén 2 và 3 được xác định thông qua trị số cánh tay đòn nội lực là $j_g = 0,61 = 2,072\text{m}$, góc xiên $\theta = 55^{\circ}37'58''$ và $b_1 = 1,26\text{m}$, $b_2 = 1,266\text{m}$ theo nguyên tắc ứng suất nén do tải trọng phân bố đều lên chân trụ.



Hình 5.3: Mô hình tính toán theo Strut and Tie cho trụ cầu rẽ quạt

Lực kéo trong thanh giằng 1 nếu không bố trí đủ ứng lực phải thỏa mãn điều kiện:

$$T_1 \leq \Phi \cdot A_{st} \cdot f_s \quad (6)$$

Trong đó:

$\Phi = 0,9$ - Hệ số sức kháng kéo đối với bê tông cốt thép thường;

f_s - Giới hạn chảy của cốt thép.

Lượng cốt thép chịu kéo tối thiểu của thanh 1 là:

$$A_{st}^{\min} = \frac{T_1}{\Phi \cdot f_v} \quad (7)$$

Lực nén trong thanh chống 2, 3 có bố trí cốt thép phải thỏa mãn điều kiện:

$$C_2 = C_3 \leq \Phi \cdot f_{cn} \cdot A_{sc} + f_c \cdot A_{rc} \quad (8)$$

Trong đó:

A_{sc} - Diện tích bê tông hữu hiệu của thanh chống;

A_{rc} - Diện tích cốt thép trong thanh chống;

$\Phi = 0,7$ - Hệ số sức kháng nén đối với bê tông cốt thép thường.

Khi đó, lượng cốt thép tối thiểu trong thanh chống 2, 3 là:

$$A_{rc} = \frac{1}{f_c} \left(\frac{C_2}{\Phi} - f_{cn} \cdot A_{sc} \right) \quad (9)$$

Trong đó:

$f_{cn} = \frac{f_c}{0,8 + 170 \cdot \epsilon_1} \leq 0,85 \cdot f_c$ - Ứng suất nén giới hạn trong thanh chống;

$$\epsilon_1 = \epsilon_s + (\epsilon_s + 0,002) \cot g^2(\theta);$$

ϵ_s - Biến dạng kéo trong bê tông theo hướng giằng chịu kéo.

Kết quả tính toán theo mô hình cột chữ T và kiểm toán theo sơ đồ dầm hàng ngắn cho mặt cắt tại ngầm theo TCVN 11823:2017 (điểm cách tim gối 1 doan là $R/3$ với R là bán kính bo tròn thân trụ) và kết quả tính toán theo mô hình Strut and Tie lượng cốt thép tối thiểu được thể hiện trong Bảng 5.1.

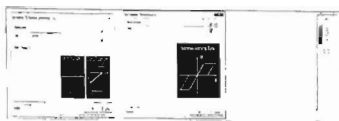
Bảng 5.1. Kết quả tính lượng cốt thép tối thiểu trong giai đoạn thi công và khai thác của trụ cầu rẽ quạt với cùng một tải trọng tác dụng

Thanh	Lượng cốt thép tối thiểu tính theo Strut and Tie (cm^3)		Lượng cốt thép tính theo giả thiết Bernoulli thông thường (cm^3)
	Thi công	Khai thác	
1	177,30	322,04	30,16
2 và 3	313,00	642,62	101,43

Kết quả tính toán theo mô hình Strut and Tie cũng phù hợp với kết quả phân tích theo phần mềm ANTENA với mô phỏng biến dạng vật liệu phi tuyến. Bê tông được mô phỏng là vật liệu biến dạng phi tuyến ba chiều và cốt thép được mô phỏng là vật liệu biến dạng theo mô hình tuyến tính (Hình 5.4). Tải trọng tác dụng lên kết cấu được mô hình dưới dạng áp lực tác dụng lên bê mặt tám kẽ trong giai đoạn khai thác.

Theo kết quả mô phỏng, do lượng cốt thép quá ít dẫn đến ứng suất trong cốt thép đạt đến giới hạn chảy và ứng suất chính trong bê tông đều vượt quá giới hạn kháng nứt của bê tông thân trụ là $0,8 \cdot f_c = 0,8 \cdot \sqrt{f_c} \cdot d_n$ dẫn đến phát sinh vết nứt theo hướng thẳng đứng.

Kết quả mô phỏng theo ANTENA cũng phù hợp với kết quả tính theo mô hình Strut and Tie. Điều này khẳng định nguyên nhân phát sinh vết nứt là do thiết kế lớp cốt thép chịu kéo mặt trên trụ cầu bị thiếu khi tính kết cấu theo giả thiết Bernoulli thông thường.



Hình 5.4: Sơ đồ tính thân trụ rè qua

Nhận xét: Như vậy, lượng thép của thanh giằng 1, thanh chống 2 và 3 nếu tính theo giả thiết Bucnuli sẽ không đủ khả năng chịu lực và làm giảm ứng suất giới hạn trong bê tông f_u của thanh chống 2 và 3, điều này dẫn đến việc xé rách gần như thẳng đứng trên thân trụ như (hình trên). Sơ đồ tính toán cũng phù hợp với sơ đồ mẫu của tướng cao chịu tải trọng tập trung.

6. KẾT LUẬN

Đa phần các hố sơ thiết kế đã áp dụng phương pháp mặt cắt tính toán truyền thống như đã trình bày trên hoặc có thể đã bỏ qua tính toán mà chỉ bố trí cốt thép theo kinh nghiệm... Qua kết quả phân tích và tính toán bằng mô hình chống giằng (Strut and Tie) có thể kết luận nguyên nhân nứt trụ cầu bê tông cốt thép thường có dạng tướng rè qua là do áp dụng phương pháp tính toán thiết kế chưa phù hợp.

Phương pháp tính toán thiết kế theo mô hình chống giằng còn khá mới. Mẫu khác, trong tiêu chuẩn thiết kế cầu 22TCN-272-05, TCVN11823:2017 đề cập còn rất sơ sài, nên việc áp dụng phương pháp này để tính toán thiết kế trụ đang tương rè qua và các kết cấu tương tự còn rất hạn chế trong các thiết kế công trình cầu.

Việc chọn sơ đồ Strut and Tie còn làm nhiều kỹ sư thiết kế lúng túng.

Bài báo đã nêu một số mô hình Strut and Tie phù hợp với các hình thức chịu lực của nhiều dạng kết cấu, có thể giúp cho các kỹ sư thiết kế, tư vấn thẩm tra và các đơn vị quản lý tham khảo, áp dụng cho công tác thiết kế, thẩm tra nhằm đảm bảo đủ khả năng chịu lực của kết cấu, tránh hiện tượng hư hỏng phải tốn kém nhiều chi phí sửa chữa khắc phục và giảm tuổi thọ, thẩm mỹ công trình. Bài báo cũng có thể sử dụng làm tài liệu giảng dạy cho sinh viên trong việc phân tích kết cấu và tính toán kết cấu công trình cầu.

Tài liệu tham khảo

- [1]. Bộ GTVT (2005), *Tiêu chuẩn thiết kế cầu 22TCN272-05*, NXB. GTVT, Hà Nội.
- [2]. Ngô Đăng Quang, Nguyễn Duy Tiến, *Kết cấu bê tông cốt thép*, NXB. GTVT, Hà Nội.
- [3]. Hồ Hữu Chính (2008), *Phân tích ứng xử và thiết kế kết cấu bê tông cốt thép*, NXB. Xây dựng, Hà Nội.
- [4]. Nguyễn Việt Trung, Dương Tuấn Minh, Nguyễn Thị Tuyết Trinh (2005), *Tính toán kết cấu bê tông cốt thép theo mô hình giàn áo*, NXB. Xây dựng.
- [5]. Nguyễn Quang Dũng, Ngô Châu Phương (2019), *Mô hình chống giằng và nguyên nhân gây nứt trụ cầu*, Tạp chí Khoa học - Công nghệ.
- [6]. J. Schlaich, K. Schaefer (1991), *Design and detailing of structural concrete using strut-and-tie models*, Journal of Structural Engineering, vol.69.
- [7]. B. T. Martin, D. H. Sanders (2007), *Verification and implementation of strut-and-tie model in LRFD Bridge Design Specifications*, National Cooperative Highway Research Program.
- [8]. M. P. Bendsoe, O. Sigmund (2003), *Topology optimization - Theory, Methods and Applications*, Springer.
- [9]. Q.Q. Liang (2005), *Performance-based optimization of structures*, Spon Press - Taylor and Francis Group.

Ngày nhận bài: 04/01/2020

Ngày chấp nhận đăng: 25/02/2020

Người phản biện: TS. Trần Xuân Hòa

ThS. Đỗ Thành Hiếu